

УДК 539.3 : 534.1

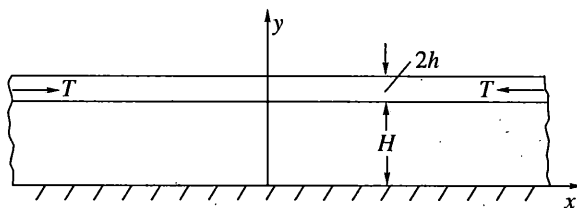
© 2001 г. В.М. АЛЕКСАНДРОВ

**УСТОЙЧИВОСТЬ СИСТЕМЫ ПОКРЫТИЕ – ПОДЛОЖКА  
ПРИ ПРОДОЛЬНОМ СЖАТИИ ПОКРЫТИЯ**

Исследована задача об устойчивости бесконечной пластины (покрытия) под действием продольного усилия, находящейся в условиях цилиндрического изгиба в двухстороннем контакте с упругим слоем (подложкой), защемленным по основанию. Предварительная деформация конструкции при действии продольного усилия меньшего критического не учитывается. При приближении свойств материала слоя к несжимаемому установлен эффект существенного снижения величины критического усилия по сравнению с критическим усилием, рассчитанным с заменой упругого слоя эквивалентным основанием Фусса – Винклера. Результаты могут найти применение при расчете работоспособности тел с покрытиями, слоистых композитов, в вопросах геофизики.

Ранее задача об устойчивости бесконечной пластины, находящейся в условиях цилиндрического изгиба в двухстороннем контакте с основанием Фусса – Винклера, рассматривалась, например, в [1].

1. Рассмотрим в условиях плоскостей деформации задачу о взаимодействии бесконечной упругой пластины (покрытия) толщины  $2h$  с бесконечным упругим слоем (подложкой) толщины  $H$ , жестко защемленным по основанию. Будем предполагать, что между нижней гранью пластины и верхней гранью слоя осуществлено полное сцепление. Пусть также пластина сжата в продольном направлении усилием  $T$  (фигура).



Слой с упругими характеристиками  $G$  и  $v$  будем описывать моделью линейной теории упругости, а для описания деформации пластины будем использовать уравнения

$$\begin{aligned} 4\theta h^2 u_+^{(3)}(x) &= -2h[2\tau'_+(x) + \tau'_-(x)] - 3[\sigma_+(x) - \sigma_-(x)] \\ 4\theta h^2 u_-^{(3)}(x) &= 2h[2\tau'_+(x) + 2\tau'_-(x)] + 3[\sigma_+(x) - \sigma_-(x)] \\ 4\theta h^3 v^{(4)}(x) + 3Tv^{(2)}(x) &= 3[\sigma_+(x) - \sigma_-(x)] + 3h[\tau'_+(x) + \tau'_-(x)] \\ (\theta = G_*(1-v_*)^{-1}) \end{aligned} \quad (1.1)$$

полученные отбрасыванием членов порядка  $h^2$  и выше в правых частях уточненных уравнений цилиндрического изгиба пластины [2] (глава 1, § 3, формулы (3.3)) и добавлением к левой части третьего уравнения известного моментного члена со второй производной функции  $v(x)$ .

Здесь  $u_+(x)$  и  $u_-(x)$  — горизонтальные перемещения точек соответственно верхней и нижней граней пластины,  $v(x)$  — ее вертикальные перемещения,  $\tau_+(x)$  и  $\sigma_+(x)$  — нагрузки, действующие на верхнюю грань пластины, а  $\tau_-(x)$  и  $\sigma_-(x)$  — на нижнюю,  $G_*$  и  $v_*$  — упругие характеристики пластины. Далее будем полагать, что верхняя грань пластины свободна от усилий, т.е.  $\tau_+(x) = \sigma_+(x) \equiv 0$ .

В силу условий полного контакта между поверхностями пластины и слоя будем на основании (1.1) для слоя иметь следующие граничные условия при  $y = H$ :

$$\begin{aligned} 40h^2 u^{(3)}(x, H) &= 4h\tau'(x) - 3\sigma(x) \\ 40h^3 v^{(4)}(x, H) + 6thv^{(2)}(x, H) &= -3\sigma(x) + 3h\tau'(x) \\ (t = T/(2h)) \end{aligned} \quad (1.2)$$

а при  $y = 0$ :

$$u(x, 0) = v(x, 0) = 0 \quad (1.3)$$

где  $\tau(x)$  и  $\sigma(x)$  — контактные напряжения, действующие между поверхностями пластины и слоя.

Далее введем безразмерные координаты и перемещения

$$x' = x/h, \quad y' = y/h, \quad H' = H/h, \quad u' = u/h, \quad v' = v/h \quad (1.4)$$

(ниже штрихи опускаем) и будем искать решение уравнений Ламе для слоя в виде

$$u(x, y) = U(\alpha, y)\cos(\alpha x), \quad v(x, y) = V(\alpha, y)\sin(\alpha x). \quad (1.5)$$

где  $\alpha$  — параметр, характеризующий периодичность задачи по  $x$  с длиной полуволны  $l = \pi/\alpha$ . Такое общее решение имеет вид

$$\begin{aligned} U(\alpha, y) &= (A_1 + \alpha y A_2) \operatorname{ch}(\alpha y) + (B_1 + \alpha y B_2) \operatorname{sh}(\alpha y) \\ V(\alpha, y) &= (B_1 - \kappa A_2 + \alpha y B_2) \operatorname{ch}(\alpha y) + (A_1 - \kappa B_2 + \alpha y A_2) \operatorname{sh}(\alpha y) \end{aligned} \quad (1.6)$$

где  $A_i$  и  $B_i$  ( $i = 1, 2$ ) — пока произвольные функции от  $\alpha$ ,  $\kappa = 3 - 4v$ . По формулам закона Гука для нужных в дальнейшем напряжений в слое найдем

$$\begin{aligned} \tau_{xy}(x, y) &= T_{xy}(\alpha, y) \cos(\alpha x), \quad \sigma_y(x, y) = \Sigma_y(\alpha, y) \sin(\alpha x) \\ T_{xy}(\alpha, y) &= G\alpha [(-(\kappa - 1)A_2 + 2B_1 + 2\alpha y B_2) \operatorname{ch}(\alpha y) + (-(\kappa - 1)B_2 + 2A_1 + \alpha y A_2) \operatorname{sh}(\alpha y)] \\ \Sigma_y(\alpha, y) &= G\alpha [(-(\kappa + 1)B_2 + 2A_1 + 2\alpha y A_2) \operatorname{ch}(\alpha y) + (-(\kappa + 1)A_2 + 2B_1 + 2\alpha y B_2) \operatorname{sh}(\alpha y)] \end{aligned} \quad (1.7)$$

2. Рассмотрим теперь следующую вспомогательную задачу для слоя: при  $y = H$ :

$$u(x, H) = U(\alpha)\cos(\alpha x), \quad v(x, H) = V(\alpha)\sin(\alpha x) \quad (2.1)$$

при  $y = 0$  — вновь условия (1.3). С помощью формул (1.6) и (1.7) найдем

$$\begin{aligned} \tau(x) &= T_{xy}(\alpha, H) \cos(\alpha x) = T(\alpha) \cos(\alpha x) \\ \sigma(x) &= \Sigma_y(\alpha, H) \sin(\alpha x) = \Sigma(\alpha) \sin(\alpha x) \end{aligned} \quad (2.2)$$

Определяя  $A_i$  и  $B_i$  по граничным условиям (1.3) и (2.1), имеем

$$\Sigma(\alpha) = \alpha G [V(\alpha)M_{11}(\alpha H) + U(\alpha)M_{12}(\alpha H)] \quad (2.3)$$

$$T(\alpha) = \alpha G [V(\alpha)M_{12}(\alpha H) + U(\alpha)M_{22}(\alpha H)]$$

$$M_{jj}(u) = \frac{(\kappa + 1)}{2} \frac{\kappa \operatorname{sh}(2u) - (-1)^j 2u}{\kappa^2 \operatorname{sh}^2 u - u^2} \quad (j = 1, 2)$$

$$M_{12}(u) = \frac{\kappa(\kappa - 1) \operatorname{sh}^2 u - 2u^2}{\kappa^2 \operatorname{sh}^2 u - u^2}$$

Подставляя (2.1)–(2.3) в формулы (1.2), придем к однородной системе алгебраических уравнений относительно функций  $U(\alpha)$  и  $V(\alpha)$ :

$$\begin{aligned} [f_1(\alpha) - K\alpha^2]V(\alpha) + f_2(\alpha)\alpha U(\alpha) &= 0 \\ f_3(\alpha)V(\alpha) + f_4(\alpha)U(\alpha) &= 0 \\ f_1(\alpha) &= \alpha^4 + g\alpha M_{11}(\alpha H) + g\alpha^2 M_{12}(\alpha H) \\ f_2(\alpha) &= gM_{12}(\alpha H) + g\alpha M_{22}(\alpha H) \\ f_3(\alpha) &= 4g\alpha^2 M_{12}(\alpha H)/3 + g\alpha M_{11}(\alpha H) \\ f_4(\alpha) &= \alpha^2 + 4g\alpha M_{22}(\alpha H)/3 + gM_{12}(\alpha H) \\ K &= 3t/(20), \quad g = 3G/(40) \end{aligned} \quad (2.4)$$

Для существования нетривиального решения системы необходимо, чтобы

$$[f_1(\alpha) - K\alpha^2]f_4(\alpha) - f_2(\alpha)f_3(\alpha) = 0 \quad (2.5)$$

Задавая разные  $\alpha$ , т.е. разную длину полуволны, можем получить любое значение для безразмерного критического усилия потери устойчивости  $K$ . Однако существует значение  $\alpha_*$ , при котором критическое усилие  $K_*$  минимально. Значения  $\alpha_*$  и  $K_*$  соответствуют кратному корню уравнения (2.5) по  $\alpha$  или, что равносильно,  $\alpha_*$  и  $K_*$  могут быть одновременно найдены из системы уравнений (2.5) и

$$[f'_1(\alpha) - 2K\alpha]f_4(\alpha) + [f_1(\alpha) - K\alpha^2]f'_4(\alpha) - f'_2(\alpha)f_3(\alpha) - f_2(\alpha)f'_3(\alpha) = 0 \quad (2.6)$$

Далее, полученным таким образом значениям  $\alpha_*$  и  $K_*$  будем придавать индекс 1.

3. В случае отслоения покрытия от подложки (проскальзывания в горизонтальном направлении при сохранении двухсторонней связи в вертикальном) и при описании подложки по-прежнему упругим слоем в (2.4) нужно положить [3]:

$$f_1(\alpha) = \alpha^4 + g\alpha M(\alpha H), \quad f_n(\alpha) = 0 \quad (n = 2, 3, 4)$$

$$M(u) = \frac{4}{\kappa+1} \frac{2\kappa \operatorname{ch}(2u) + 1 + \kappa^2 + 4u^2}{2\kappa \operatorname{sh}(2u) - 4u} \quad (3.1)$$

и тогда  $\alpha_*$  и  $K_*$  могут быть одновременно найдены из системы уравнений

$$f_1(\alpha) - K\alpha^2 = 0, \quad f'_1(\alpha) - 2K\alpha = 0 \quad (3.2)$$

Далее полученным таким образом значениям  $\alpha_*$  и  $K_*$  будем придавать индекс 2.

Наконец рассмотрим задачу в простейшей постановке [1], когда вместо упругого слоя пластина взаимодействует без трения, но с сохранением двухсторонней связи в вертикальном направлении, с равносильным основанием Фусса – Винклера. При этом в (2.4) нужно положить [3]:

$$f_1(\alpha) = \alpha^4 + g\alpha N(\alpha H), \quad f_n(\alpha) = 0 \quad (n = 2, 3, 4)$$

$$N(u) = (\kappa + 1)[(\kappa - 1)u]^{-1} \quad (3.3)$$

и тогда для  $\alpha_*$  и  $K_*$  нетрудно получить замкнутые выражения [1]:

$$\alpha_* = \sqrt{\frac{K_*}{2}}, \quad K_* = \sqrt{\frac{3G(\kappa+1)}{\theta H(\kappa-1)}} \quad (3.4)$$

Далее этим значениям  $\alpha_*$  и  $K_*$  будем придавать индекс 3.

Дадим сравнение результатов (таблица), полученных по трем приведенным здесь постановкам задачи. При расчетах принято:  $E = 0.981$  МПа,  $v = 0.475 - 0.4995$  (материал типа резины),  $E_* = 1.962 \cdot 10^5$  МПа,  $v_* = 0.3$  (сталь).

Из таблицы видно, что для всех трех теорий критическое усилие увеличивается, а длина полуволны, характеризующая собой форму потери устойчивости, уменьшается при увеличении  $v$ . В то же время критическое усилие по теории 3 больше соответствующих значений по теориям 1 и 2, причем тем значительнее, чем  $v$  ближе к 0.5. Критическое усилие по теории 1 всегда больше соответствующих значений по теории 2. Так при  $v = 0.4995$  оно в среднем больше на 31.6 процента. Вычислениями также установлено, что при  $v \leq 0.4$  результаты по всем трем теориям практически совпадают.

| $H$          | 8       | 4       | 2       | 1       | 1/2     |
|--------------|---------|---------|---------|---------|---------|
| $v = 0.475$  |         |         |         |         |         |
| $\alpha_1$   | 0.0493  | 0.0591  | 0.0703  | 0.0836  | 0.0994  |
| $\alpha_2$   | 0.0471  | 0.0581  | 0.0700  | 0.0834  | 0.0993  |
| $\alpha_3$   | 0.0496  | 0.0590  | 0.0702  | 0.0835  | 0.0993  |
| $K_1$        | 0.00445 | 0.00669 | 0.00971 | 0.01386 | 0.01967 |
| $K_2$        | 0.00391 | 0.00621 | 0.00939 | 0.01369 | 0.01959 |
| $K_3$        | 0.00493 | 0.00697 | 0.00986 | 0.01394 | 0.01972 |
| $v = 0.4935$ |         |         |         |         |         |
| $\alpha_1$   | 0.0615  | 0.0787  | 0.0965  | 0.1156  | 0.1376  |
| $\alpha_2$   | 0.0533  | 0.0710  | 0.0918  | 0.1138  | 0.1370  |
| $\alpha_3$   | 0.0687  | 0.0817  | 0.0971  | 0.1155  | 0.1374  |
| $K_1$        | 0.00617 | 0.01063 | 0.01705 | 0.02564 | 0.03719 |
| $K_2$        | 0.00464 | 0.00829 | 0.01438 | 0.02346 | 0.03581 |
| $K_3$        | 0.00944 | 0.01334 | 0.01887 | 0.02669 | 0.03774 |
| $v = 0.4995$ |         |         |         |         |         |
| $\alpha_1$   | 0.0686  | 0.0958  | 0.1329  | 0.1810  | 0.2388  |
| $\alpha_2$   | 0.0560  | 0.0778  | 0.1084  | 0.1504  | 0.2060  |
| $\alpha_3$   | 0.1299  | 0.1545  | 0.1837  | 0.2185  | 0.2598  |
| $K_1$        | 0.00715 | 0.01395 | 0.02708 | 0.05139 | 0.09339 |
| $K_2$        | 0.00495 | 0.00937 | 0.01805 | 0.03488 | 0.06653 |
| $K_3$        | 0.03375 | 0.04773 | 0.06750 | 0.09546 | 0.13500 |

Изложенные факты важно принимать во внимание, например, при расчете на устойчивость слоистых резино-металлических шарниров.

Работа выполнена при финансовой поддержке ИНТАС-РФФИ (грант 95-IN-RU-492) и РФФИ (грант 99-01-00038).

#### СПИСОК ЛИТЕРАТУРЫ

1. Работнов Ю.Н. Механика деформируемого твердого тела. М.: Наука, 1979. 744 с.
2. Александров В.М., Мхитарян С.М. Контактные задачи для тел с тонкими покрытиями и прослойками. М.: Наука, 1983. 488 с.
3. Ворович И.И., Александров В.М., Бабешко В.А. Неклассические смешанные задачи теории упругости. М.: Наука, 1974. 456 с.

Москва

Поступила в редакцию  
21.06.1999